

부정행위시에는 가능한 수단을 모두 동원하여 학생에게 최대의 불이익이 (퇴학도 가능함) 내려지도록 하겠습니다.

1. (48점) 다음표의 빈칸을 채우시오. [답지에 다음의 표를 그리고 답을 세라. 주어진 정보에는 동그라미로 표시]

| 원자번호 | 원소기호 | 이름      | 족<br>(Family) | 주기<br>(Period) |
|------|------|---------|---------------|----------------|
| 4    |      |         |               |                |
|      | Co   |         |               |                |
|      |      | Rhenium |               |                |
| 79   |      |         |               |                |
|      | Sb   |         |               |                |
|      |      | Bohrium |               |                |

2. (180점) 어떤 cobalt 착물을 합성하는 과정에서 A, B, C 세 가지 화합물을 얻었다. 그 화학식을 element analysis를 통하여 알아보니 A는  $\text{Na}_3[\text{CoF}_6]$ , B는  $[\text{CoF}_3(\text{NH}_3)_5]$ , C는  $[\text{Co}(\text{NH}_3)_6]\text{Cl}_3$  였다. 또한 SQUID를 사용하여 각 착물의 자기적 성질을 알아보았더니 A는 paramagnetic하고 B와 C는 diamagnetic 하였다. [Tanabe-Sugano diagram 참조, (a)  (b) 중 하나라도 틀리면 (c)~(k)는 무조건 0점. (a)는 5점, (b)는 10점을 주고 답을 살 수 있다.]

(a) 각각의 착물에 대하여 Co의 산화수와 d-orbital에 있는 전자의 개수를 써라. 5

(b) 각각의 착물에 대하여 high spin 상태에 있는지 low spin 상태에 있는지를 밝히고 spin quantum number (S)를 써라. 10

(c) 각각의 착물이 octahedral structure를 가진다고 할 때, CFSE를 구하여라. (단위:  $\Delta_o$ ) 15

각각의 착물에 대하여 effective magnetic moment ( $\mu_{eff}$ )를 구하여라. (단위: Bohr magneton,  $\mu_B$ ) 15

(e) 각각의 착물에 대하여 ground state term을 구하여라. 15

(f) 각각의 착물에 대하여 spin allowed transition (1 electron transition만)은 어떤 것인가? 15

(g) 위의 (f)에 쓴 모든 state들에 대한 electron configuration을 쓰고 ( $t_{2g}^6 e_g^2$ 의 형태) (f)에서 각 착물에 대하여  $\Delta_o$ 에 해당하는 transition을 밝혀라. 30

(h) 착물 C의  $\Delta_o$ 는  $29000\text{cm}^{-1}$ 이다. (f)의 각 transition에 대하여 transition 에너지 (즉 state들 사이의 에너지 차이)가  $29000\text{cm}^{-1}$  보다 '크다', '작다', '같다', '알 수 없다' 중에서 선택하여라. 각 선택에 대하여 그 이유를 써라. (현재 시험지에 나와 있는 정보와 여러분의 지식을 바탕으로 하여) 30

(i) 착물 B와 C에서 흡광계수가 더 큰 것은 어느 것인가? 그 이유는? 10

(j) free  $\text{Co}^{2+}$  ion (n은 위 착물들의 산화수)의 ground-state term은? 또한 이 term에서의 microstate의 수가 몇 개인가? 10

(k) (j)의 ground-state term은 착물 A에서 어떤 electronic state들 10로 갈라지는가? 또한 microstate의 수가 (h)와 일치함을 보여라.

(l) 각 착물의 nomenclature를 써라. 15

3. (85점) 문제 2의 착물 A와 착물 C에 대하여 A는 paramagnetic하고 C는 diamagnetic 한 이유를 ligand field theory를 이용하여 다음의 순서로 설명하여라. 즉,  $\Delta_o$ 의 크기가 ligand에 따라 차이가 나는 ( )을 설명하여라. [SALC 참조. (a)가 틀리면 그 이후는 무조건 0점. (a)의 답을 5점으로 살 수 있다.]

(a) A의 ligand와 C의 ligand 중에서 하나는  $\sigma$ -donor ligand (이 착물을 X라 하자)이고 하나는  $\sigma$ -donor 및  $\pi$ -donor ligand (이 착물을 Y라 하자)로 작용한다. 각각 어느 것인가? 5

(b)  $\text{Co}^{2+}$ 의 3d, 4s, 4p orbital들의 symmetry type은? 6

- (c) 착물 X에서 ligand의  $\sigma$ -donor orbital (6개)들의 symmetry type은? 6

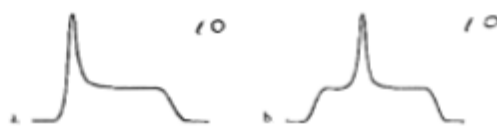
(d) 착물 X의 MO diagram을 (중앙) 그려라. ligand의  $\sigma$ -donor orbital들과 (오른쪽)과  $\text{Co}^{2+}$ 의 3d, 4s, 4p orbital들도 (왼쪽) 표시하라. orbital 이름을 정확히 써라. X의 MO와 ligand,  $\text{Co}^{2+}$ 의 orbital 사이의 correlation을 정확히 표시하라. X의 MO diagram에  $\Delta_o$ 를 표시하여라. 30

- (e) 착물 Y에서 ligand의  $\pi$ -donor orbital (12개)의 symmetry type은? 8

(f) 착물 X의 MO diagram을 (왼쪽) 바탕으로 하여 착물 Y의 MO diagram을 (중앙) 그려라. ligand의  $\pi$ -donor orbital (오른쪽)을 표시하라. Y의 MO diagram은 X의 frontier orbital과 ligand의 orbital이 만나서 형성되는 MO만 그려라. Orbital들 사이의 correlation을 정확히 표시하라. Y의 MO diagram에  $\Delta_o$ 를 표시하여라. 20

- (g) A는 paramagnetic하고 C는 diamagnetic 한 이유를 설명하여라. 10

4. (20점) Paramagnetic한 두 시료에 대하여 EPR 실험을 하여 spectrum (가로축은 자장의 세기)을 얻었다. 그런데 data 조작의 실수로 자장에 대하여 적분을 하여 spectrum이 아래의 모양으로 바뀌었다. (absorption-mode lineshape). 처음 얻은 EPR spectrum의 모양 (derivative-mode lineshape)은?



5. (30점)  $[\text{CH}_3\text{D}]^\bullet$  의 derivative mode EPR spectrum을 다음의 각 경우에 대하여 그려라. ( $H: I=1/2, D: I=1$ ) (Line들의 intensity의 비,  $A_H, A_D$ 를 표시할 것) (A는 hyperfine coupling constant를 의미한다.) 15

- (a)  $A_H \gg A_D$       (b)  $A_D \gg A_H$  15

6. (30점) Tetrahedral 구조인  $[\text{MnO}_4]^-$  착물의 수용액은 자주색이다. 색을 보이는 electronic transition의 성격에 대하여  $[\text{MnO}_4]^-$ 의 MO diagram을 그리고 설명하여라. 30

7. (20점) 다음의 전자배치에서 ground-state에서의 S, L 값 그리고 term symbol은 (J 불포함)?

- (a)  $d^5$       (b)  $s^1 d^3$       (c)  $d^7$       (d)  $d^1$   
5      5      5      5

8. (35점) Ethylenediamine (en) 과  $\text{Co}^{2+}, \text{Ni}^{2+}, \text{Cu}^{2+}$  사이에서 일어나는 반응의 평형상수 값은 다음과 같다. ( $M=\text{Co, Ni, Cu}$ )



| ion              | $\log K_1$ | $\log K_2$ | $\log K_3$ |
|------------------|------------|------------|------------|
| $\text{Co}^{2+}$ | 5.89       | 4.83       | 3.10       |
| $\text{Ni}^{2+}$ | 7.52       | 6.28       | 4.26       |
| $\text{Cu}^{2+}$ | 10.55      | 9.05       | -1.0       |

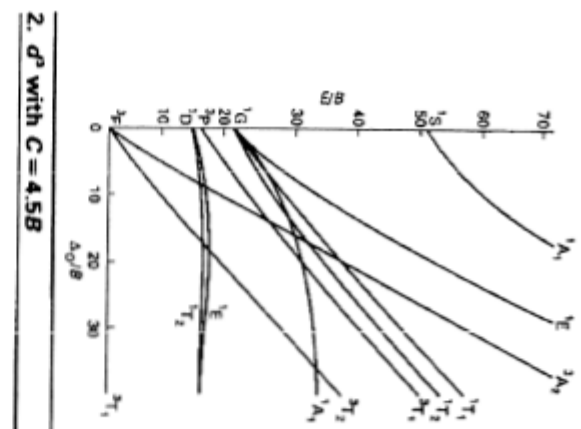
- (a)  $\text{Co}^{2+}$  와  $\text{Ni}^{2+}$ 에서  $K_1 > K_2 > K_3$  인 이유를 설명하여라. 10

- (b)  $K_1$ 과  $K_2$ 에서  $K(\text{Co}^{2+}) < K(\text{Ni}^{2+}) < K(\text{Cu}^{2+})$  인 이유를 설명하여라. 15

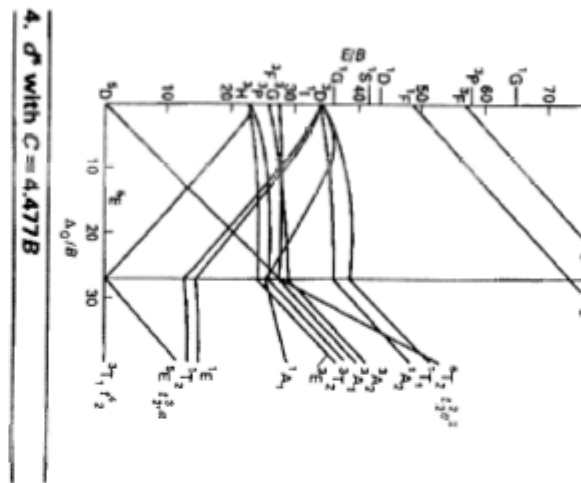
- (c)  $K_3(\text{Cu}^{2+}) < K_3(\text{Co}^{2+}) < K_3(\text{Ni}^{2+})$  인 이유를 설명하여라. 10

9. (30점) 지난 1년 (또는 1 학기) 동안의 무기화학 강의에서 좋은 점, 나쁜 점, 개선해야 할 점 등 감상을 써라. [한 줄에 20자를 기본으로 하여 5점/줄, 최고 30점]

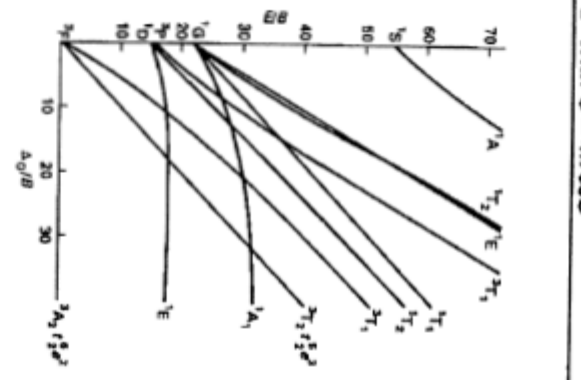
수고하셨습니다. 시험성적 및 공지 사항은 저의 web site인 <http://bh.knu.ac.kr/~leehi>에 되도록 빠른 기간 내에 공고하겠습니다.



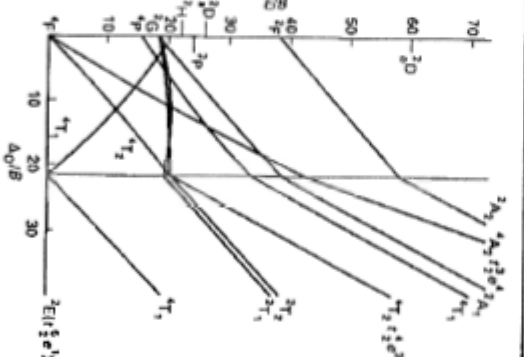
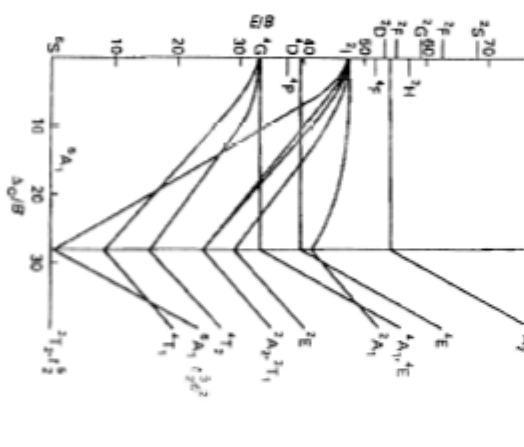
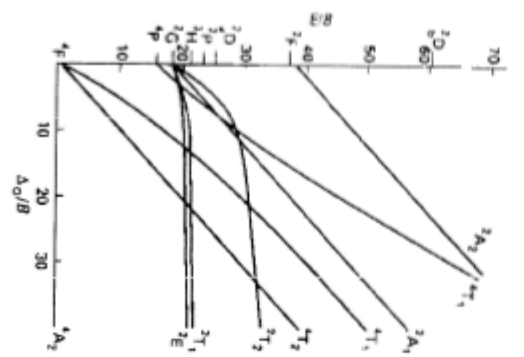
## 2. $d^9$ with $C = 4.5B$

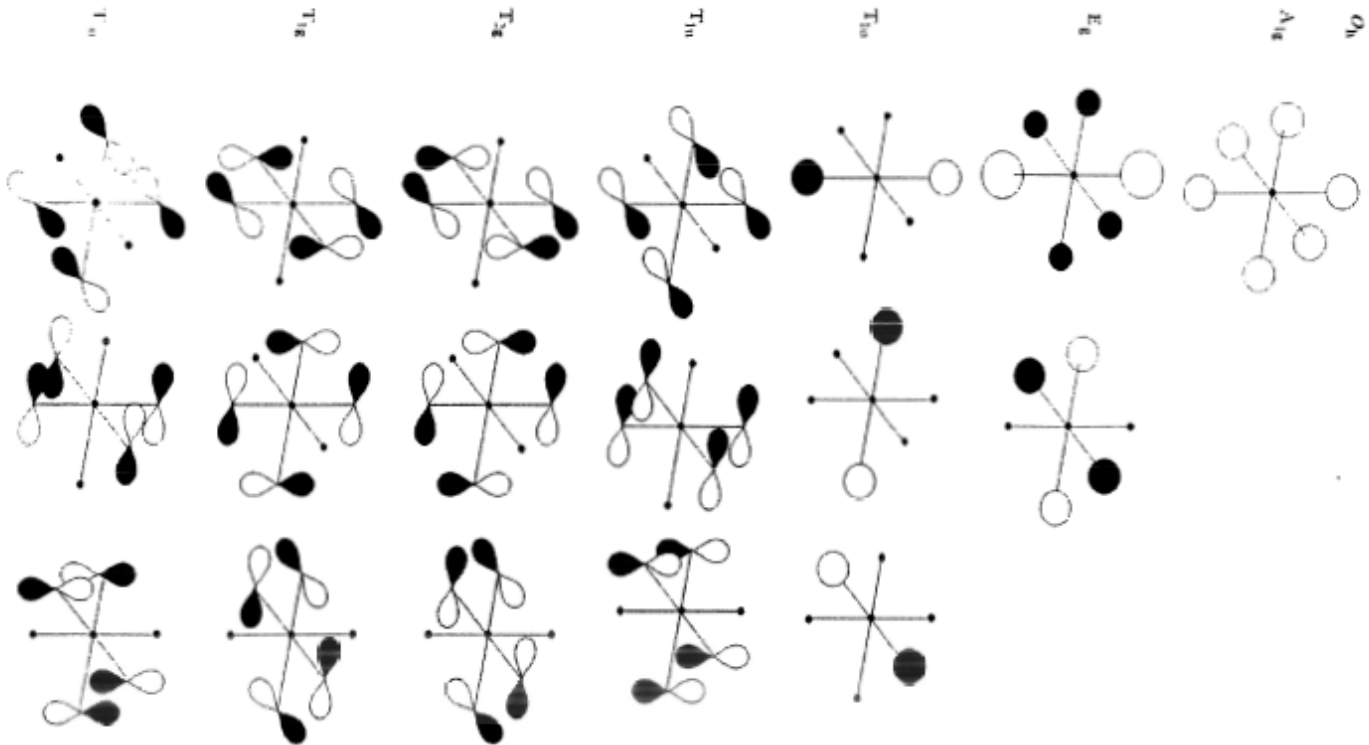


A<sub>01</sub>/B



卷二





6)

2022 2학기 화학2 기말고사 풀이

1 (48)

| 원자번호 | 원소번호 | 이름   | 족(Family) | 주기(Period) |    |
|------|------|--|-----------|------------|----|
| 4    | Be   | Beryllium                                    | 2         | 2          | 8F |
| 27   | Co   | Cobalt                                       | 9         | 4          | 8  |
| 75   | Re   | Rhenium                                      | 7         | 6          | 8  |
| 79   | Au   | Gold   | 11        | 6          | 8  |
| 105  | Sb   | <del>Seaborgium</del><br><sup>Antimony</sup> | 15        | 5          | 8  |
| 107  | Bh   | Bethrium                                     | 7         | 7          | 8  |

2 (180)

(a) 5 전부  $\text{Co}^{3+}$ ,  $d^6$

(b) A.  $[\text{CoF}_6]^{3-}$ : high spin 10 (shallow 2 max 10)  
 $s=2$

B.  $[\text{CoF}_3(\text{NH}_3)_3]$ : low spin  $s=0$   $\leftarrow (+ + e_g\right.$   
 $\left.+++\tau_{eg}\right)$

C.  $[\text{Co}(\text{NH}_3)_6]^{3+}$ : low spin  $s=0$   $\leftarrow (- - e_g\right.$   
 $\left.## \# \tau_{eg}\right)$

(c) 15 A.  $[\text{CoF}_6]^{3-}$

$$\begin{array}{c} + + e_g \\ - - e_g \\ \hline + + \tau_{eg} \end{array} \quad \begin{array}{l} \text{CFSE} = -0.4\Delta_0 \times 4 + 0.6\Delta_0 \times 2 \\ = -0.4\Delta_0 \end{array}$$

$\frac{\text{min}}{\text{min}} 5$

B.  $[\text{CoF}_3(\text{NH}_3)_3]$   $- - e_g$   $\text{CFSE} = -0.4\Delta_0 \times 6$

C.  $[\text{Co}(\text{NH}_3)_6]^{3+}$   $\# \# \# \tau_{eg}$   $= -2.4\Delta_0$

$\frac{\text{min}}{\text{min}} 5$

(d)  $M_{\text{eff}} = 2\sqrt{SC(S+1)}\mu_B$

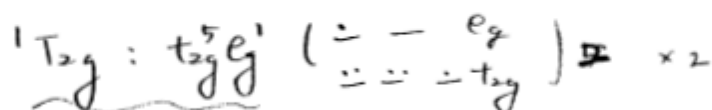
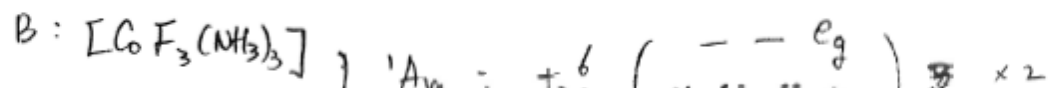
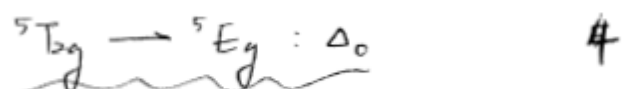
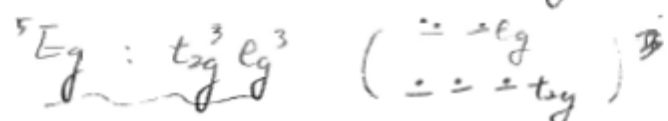
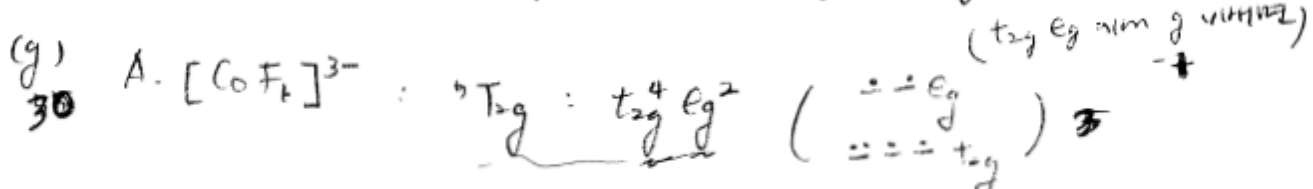
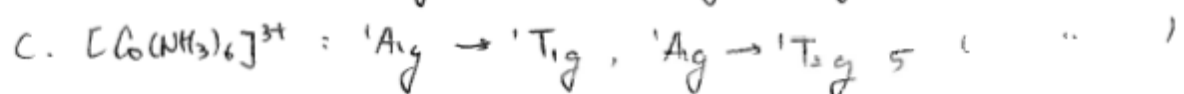
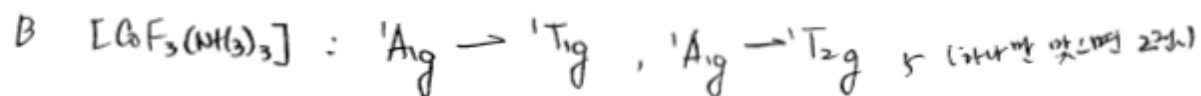
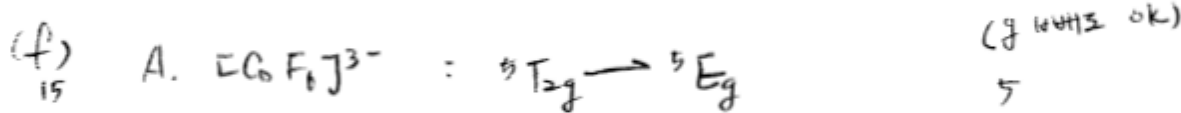
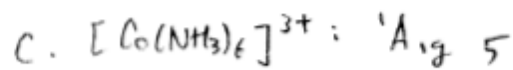
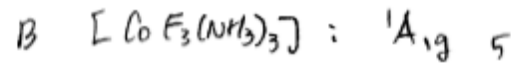
15 A.  $[\text{CoF}_6]^{3-}$ :  $M_{\text{eff}} = 2 \cdot \sqrt{2(2+1)}\mu_B = 4.90\mu_B$

B.  $[\text{CoF}_3(\text{NH}_3)_3]$ :  $M_{\text{eff}} = 0$  ( $s=0$ ) 5

C.  $[\text{Co}(\text{NH}_3)_6]^{3+}$ :  $M_{\text{eff}} = 0$  ( $s=0$ ) 5

2. (cont'd)

(2)



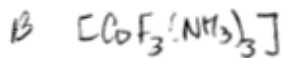


$$^5T_{2g} \rightarrow ^5E_g : 29000\text{cm}^{-1} \text{ 빠른 짧은}$$

Weak field, high spin compound ⑥

$$\Delta_o(A) < \Delta_o(C)$$

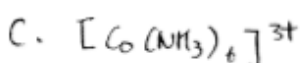
(弱한 외장場  
at 高自旋)



$$^1A_{1g} \rightarrow ^1T_{1g} : 29000\text{cm}^{-1} \text{ 빠른 짧은} \quad ⑥$$

$\because F^-$  ligand가 존재하므로 ( $F^-$ :  $\pi$ -donor ligand)

$$^1A_{1g} \rightarrow ^1E_g : \text{약속 짧은} \quad ⑥$$



$$^1A_{1g} \rightarrow ^1T_{1g} : 29000\text{cm}^{-1} = \Delta_o \quad ⑥$$

$$^1A_{1g} \rightarrow ^1T_{2g} : 29000\text{cm}^{-1} \text{ 빠른 짧은} \quad ⑥$$

$\because ^1T_{2g} \neq ^1T_{1g}$  빠른 짧은 미디어 state

(i) 10 B.  $[\text{CoF}_3(\text{NH}_3)_3]$ 의 흡광계수가 더 짧다. 10

$\therefore$  두 종류의 다른 ligand가 존재하여 Larpote selection rule  
이 성립된다. ( $g \leftrightarrow g$ ,  $u \leftrightarrow u$ ,  $g \leftrightarrow u$ ) (弱한 외장場  
at 弱 donor)

(j) 10  $^5D$   $(2S+1)(2L+1) = 5 \times (2 \times 2 + 1) = 25$  microstates 10

(k) 10 A.  $[\text{CoF}_6]^{3-}$

$$^5D \begin{cases} \xrightarrow{^5E_g} \sim 5 \times 2 = 10 \text{ microstates} \\ \xrightarrow{^5T_{2g}} \sim 5 \times 3 = 15 \end{cases} \quad 10$$

$\therefore$  total 25 microstates

(l) 10 A.  $\text{Na}_3[\text{CoF}_6]$  : hexafluorocobaltate(III) (+) sodium 5

10 B.  $[\text{CoF}_3(\text{NH}_3)_3]$  : triammine-trifluorocobalt(III) 5

C.  $[\text{Co}(\text{NH}_3)_6]Cl_3$  : hexaamminecobalt(III) (+) chloride 5

(4)

3.

(a) A.  $[\text{CoF}_6]^{3-}$ : F<sup>-</sup>: σ-donor, π-donor ligand

5

C.  $[\text{Co}(\text{NH}_3)_6]^{3+}$ : NH<sub>3</sub>: σ-donor ligand

X

5

↓ each

(b)

~~Co~~<sup>3+</sup>  
6

3d: Eg, T<sub>2g</sub>4s: A<sub>1g</sub>4p: T<sub>1u</sub>

5s, 5p, 5d

6s, 6p, 6d

(c)

~~Co~~<sup>3+</sup>  
6

A<sub>1g</sub>, E<sub>g</sub>, T<sub>1u</sub>~~4s, 4p, 4d~~ 5s, 5p, 5d

(d)

~~Co~~<sup>3+</sup>  
3d

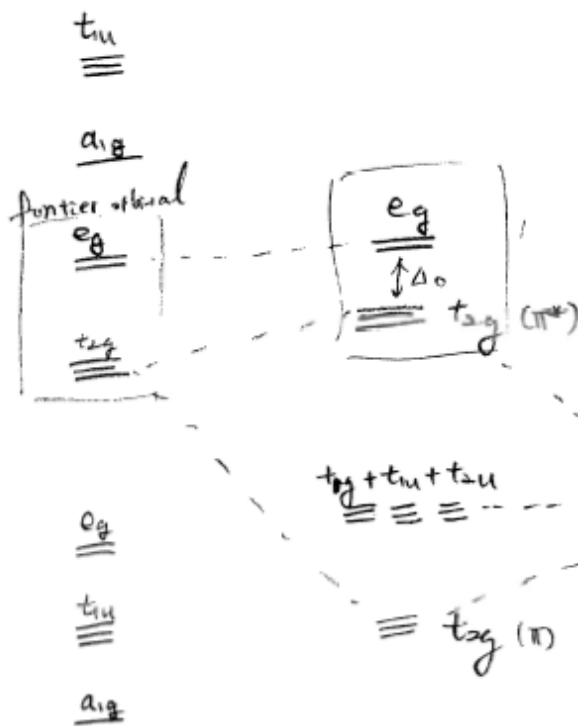
C.  $[\text{Co}(\text{NH}_3)_6]^{3+}$ 6 NH<sub>3</sub> (σ-donor orbitals)t<sub>1u</sub>(σ\*)4p t<sub>1u</sub>a<sub>1g</sub>(σ\*)4s A<sub>1g</sub>e<sub>g</sub>(σ\*)3d e<sub>g</sub>+t<sub>2g</sub>t<sub>2g</sub>e<sub>g</sub>(σ)t<sub>1u</sub>(σ)a<sub>1g</sub>(σ)a<sub>1g</sub>+e<sub>g</sub>+t<sub>1u</sub>orbital small  
e<sub>g</sub> & t<sub>1u</sub> small

-

(5)

(c)  ~~$t_{1u}, t_{2g}, t_{1g}, t_{2u}$~~   ~~$\Delta_0$~~   $\rightarrow$   $t_{1u}$  2

(f)  $X \cdot [Co(NH_3)_6]^{3+}$   $A \cdot [CoF_6]^{3-}$   $6F^- (\pi\text{-donor orbitals})$   
 $\approx$  ( $\sigma$ -donor only complex)



(g)  $A \cdot Y [CoF_6]^{3-}$ 의 경우에  $\pi\text{-donor orbital} \approx t_{2g}$  orbital이

(h)  $\sigma$ -donor only complex의  $t_{2g}$  orbital의 energy state가 낮아  
 두 orbital 사이사이  $\pi$ -bonding orbital이 생기며  $\pi$ -bonding orbital  
 은 energy state가 낮아지고  $\pi$ -antibonding orbital은 높아진다  
 而去  $\pi$ -donor ligand의 전자가  $A \cdot Y = 1$   $t_{2g}(\pi)$ 와 non-bonding  
 orbital의  $t_{1g}, t_{1u}, t_{2u}$ 를 더해  $t_{2g}(\pi^*)$ 와  $e_g$  orbital이  
 frontier orbital이 되어  $\Delta_0$ 가  $\sigma$ -donor ligand의 경우보다  
 작아진다. 따라서

$$\Delta_0 (X \cdot C. [Co(NH_3)_6]^{3+}) > \Delta_0 (A \cdot Y [CoF_6]^{3-}) \text{ 이다.}$$

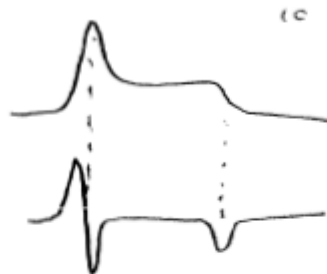
(d)

strong field      weak field  
 diamagnetic  $\leftarrow$  low spin      high spin  $\rightarrow$  paramagnetic

④

4.  
②

(a)

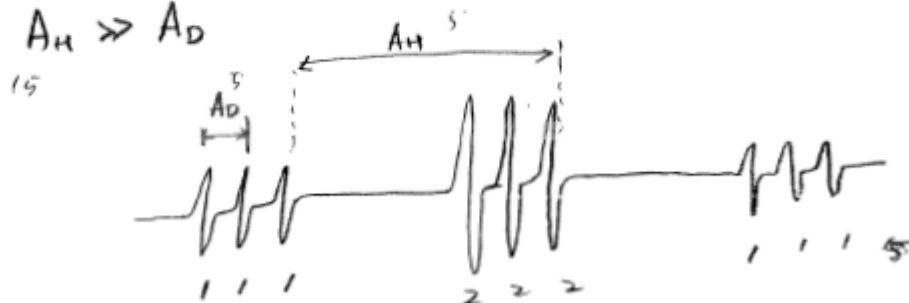
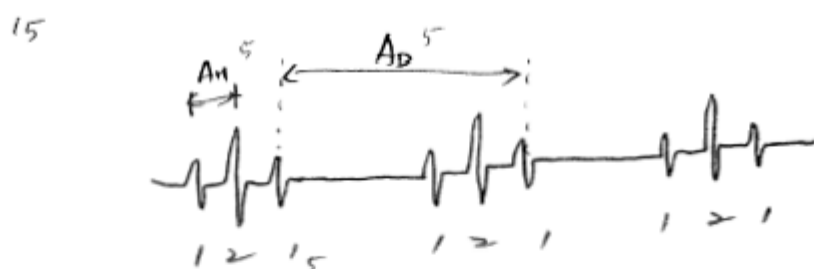


(b)



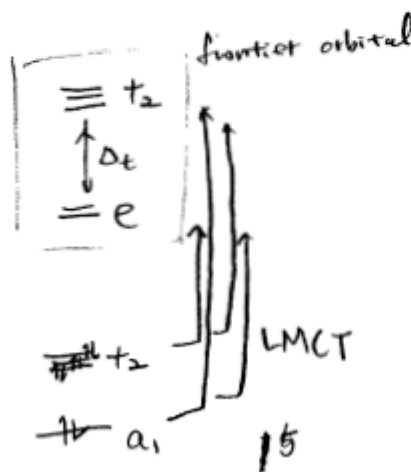
5.

③

 $[\text{CH}_2\text{D}]^*$ (a)  $A_H \gg A_D$ (b)  $A_D \gg A_H$ 

6.

④

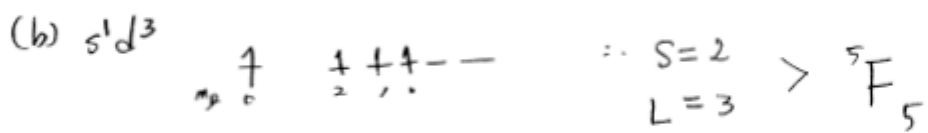
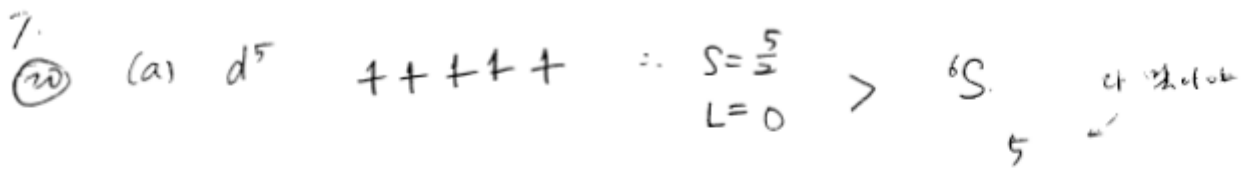
 $[\text{MnO}_4]^-$  MO $-a_1$  $\text{Mn}^{+7}$ ,  $\equiv d^0 = 1$  전자 대비를 갖는다.

octet d orbital이 2개 차지하고 있다.

frontier orbital ( $t_2, e$ ) 이 2개가 하나도 없어 octet  $[\text{MnO}_4]^-$  촉매의 초기 LMCT (ligand  $\rightarrow$  metal charge transfer)이 시작된다.

15

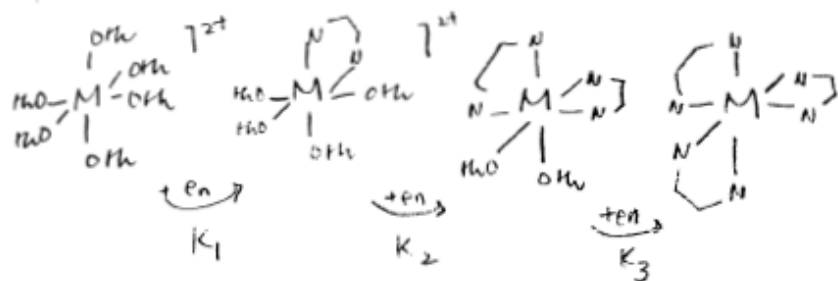
(7)



⑥

8. (a)

10



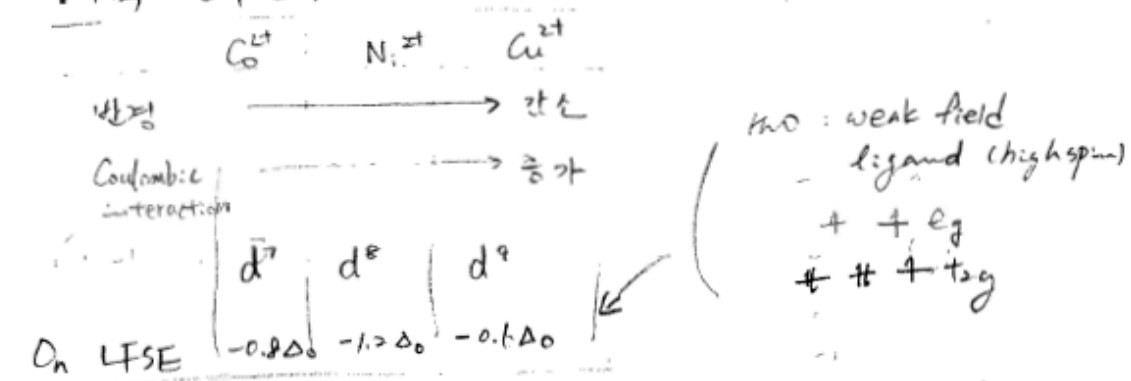
$K_1 \rightarrow K_2 \rightarrow K_3$  을 살피면 치환하여야 할 H<sub>2</sub>O ligand = 1

선행에 대한 경우의 수가 줄어든다  $\therefore K_1 > K_2 > K_3$

(b)

15

전이금속 학물의 안정도는 Coulombic interaction of LFSE 가  
클수록 증가한다.

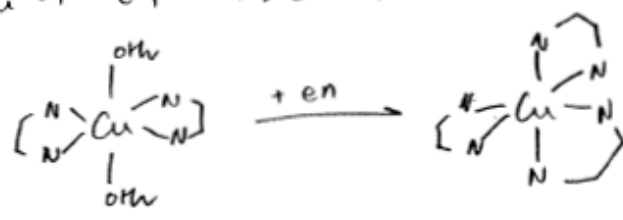


그런데 Cu<sup>2+</sup> 학물의 경우 Jahn-Teller distortion이 있어서 On의

LFSE 는  $-0.6\Delta_0$ 보다 더 많이 안정화 될 수 있다.

결과

$$K(Co^{2+}) < K(N_3^{2-}) < K(Cu^{2+})$$

(c) . (b) ∵ 이유로  $K_3(Co^{2+}) < K_3(N_3^{2-})$ 10 Cu<sup>2+</sup>의 경우  $K_3$ 은 다른 반응의 평행 상수이다.

Jahn-Teller effect 때문에 NH<sub>5</sub> 안정화 A=1 형태로 부수고 좀 더 불안정한 형태로 가야 하므로

$K_3(Cu^{2+})$ 은 매우 작다

$$\therefore K_3(Cu^{2+}) < K_3(Co^{2+}) < K_3(N_3^{2-})$$